

川崎製鉄技報  
KAWASAKI STEEL GIHO  
Vol.20 (1988) No.4

---

プラズマアークを用いた鋼管矢板水中切断工法・装置（プラズマカッター）の開発  
Development of Underwater Cutting Method of Interlocked Steel Pipe Piles Using  
Plasma Arc

---

藤田 勉(Tsutomu Fujita) 井村 英俊(Hidetoshi Imura) 赤秀 公造(Kohzo Akahide) 小関 楠志(Tateshi Koseki) 橋本 正治(Masaharu Hashimoto)

---

要旨：

仮締切兼用鋼管矢板井筒工法においては、従来は継手をあらかじめ切断しておくプレカット工法が一般に用いられている。この工法では打込鋼管の高止まり時の対応が必要となることや、漏水の危険性が高いなどの問題点があるため継手を含めた鋼管矢板の切断法が検討されていたが、切断法に問題があり、十分なものではなかった。そこで、継手と本管を同一装置で切断する「プラズマアークを用いた水中切断工針装置（プラズマカッター）」を開発した。プラズマアークと砥石カッタを用いることにより、鋼管矢板の本管と継手を確実かつ高品質高能率に切断することができる。800mm  $\phi$  の鋼管矢板の実切断所要時間は約20分/本であり、省力化施工が可能となる水中自動切断工法を確立した。

---

Synopsis :

Interlocked steel pipe piles are driven into the ground for construction of piers located in rivers or the sea. In such cases underwater cutting is often required at the end of construction. Cutting of junction pipes is so hard that the pipes will usually be cut before driving. This construction method sometimes causes troubles of water leakage and so on during construction. An effective underwater cutting machine system has been developed to solve these problems. It can cut not only pipe piles but also junction pipes. The system is mainly composed of a plasma arc cutting device and a grindstone device. The mechanism is simple and remote-controlled using some sensors attached. Work time needed for cutting a 800-mm $\phi$  steel pipe pile and a couple of junction pipes is about 20 minutes, and thus an efficient automatic underwater cutting method has been established.

(c)JFE Steel Corporation, 2003

本文は次のページから閲覧できます。

# プラズマアークを用いた鋼管矢板水中切断工法・ 装置（プラズマカッター）の開発\*

川崎製鉄技報  
20 (1988) 4, 279-284

## Development of Underwater Cutting Method of Interlocked Steel Pipe Piles Using Plasma Arc



藤田 勉  
Tsutomu Fujita  
エンジニアリング事業部 研究開発センター 施工研究室 主任研究員(課長)



井村 英俊  
Hidetoshi Imura  
エンジニアリング事業部 研究開発センター 施工研究室 主任研究員(掛長)



赤秀 公造  
Kohzo Akahide  
エンジニアリング事業部 研究開発センター 施工研究室 室長(部長)・工博



小関 植志  
Tateshi Koseki  
エンジニアリング事業部 建材技術部 主査(課長)



橋本 正治  
Masaharu Hashimoto  
エンジニアリング事業部 建材技術部 主査(課長)

### 要旨

仮締切兼用钢管矢板井筒工法においては、従来は継手をあらかじめ切断しておくプレカット工法が一般に用いられている。この工法では打込钢管の高止まり時の対応が必要となることや、漏水の危険性が高いなどの問題点があるため継手を含めた钢管矢板の切断法が検討されていたが、切断法に問題があり、十分なものではなかった。そこで、継手と本管を同一装置で切断する「プラズマアークを用いた水中切断工法・装置（プラズマカッター）」を開発した。プラズマアークと砥石カッタを用いることにより、钢管矢板の本管と継手を確実かつ高品質高能率に切断することができる。800 mm $\phi$ の钢管矢板の実切断所要時間は約20分/本であり、省力化施工が可能となる水中自動切断工法を確立した。

### Synopsis:

Interlocked steel pipe piles are driven into the ground for construction of piers located in rivers or the sea. In such cases underwater cutting is often required at the end of construction. Cutting of junction pipes is so hard that the pipes will usually be cut before driving. This construction method sometimes causes troubles of water leakage and so on during construction. An effective underwater cutting machine system has been developed to solve these problems. It can cut not only pipe piles but also junction pipes. The system is mainly composed of a plasma arc cutting device and a grindstone device. The mechanism is simple and remote-controlled using some sensors attached.

Work time needed for cutting a 800-mm $\phi$  steel pipe pile and a couple of junction pipes is about 20 minutes, and thus an efficient automatic underwater cutting method has been established.

### 1 緒 言

近年、わが国においては道路、鉄道の立地難から海岸近くの河川や港湾内での橋梁建設が目立っている。この場合には、橋長が多くなることが多く、水中に基礎を設ける必要がある。基礎工法としては、悪い地盤での施工性にすぐれている仮締切兼用钢管矢板井筒が多用されている。この工法では、仮締切として使用した钢管矢板壁の水底近くで、不要となる上の部分を水中または土砂中で切断し撤去する必要がある。

従来、钢管矢板の本管について砥石カッタ<sup>1)</sup>、ディスクカッタ<sup>2)</sup>の他に自動酸素アーク<sup>3)</sup>などによる切断工法が開発実用化されてきた。一方、本管を連結する継手としてはモルタルを充填した钢管が一般的に用いられているため、水中かつ遠隔操作で切断することは容易ではない。このため钢管矢板の打込み前にあらかじめ継手の一

部をガスカットし、その空所に止水材を充填するプレカット工法が採用されていた。その一例をFig.1に示す。この工法では钢管矢板の打設時の高止まりや、漏水トラブル等の不都合が生じる場合がある。そこで能率的に継手を切断することが可能となれば、あらかじめ継手をガスカットする必要のないノンプレカット工法を採用することができ、上述の問題点を解決することができる。これまでも本管と継手の切断法が検討されていたが、切断上の問題があり十分なものではなかった。

今回、ノンプレカット工法の確立を目指し钢管矢板の本管と継手部を水中で同時に切断する方法について種々実験をくり返した結果、継手を砥石カッタで切断し、本管をプラズマアークにより切断する技術を確立することができた。本報告ではこの钢管矢板水中切断工法および装置（プラズマカッター）の概要について述べる。

\* 昭和63年7月28日原稿受付

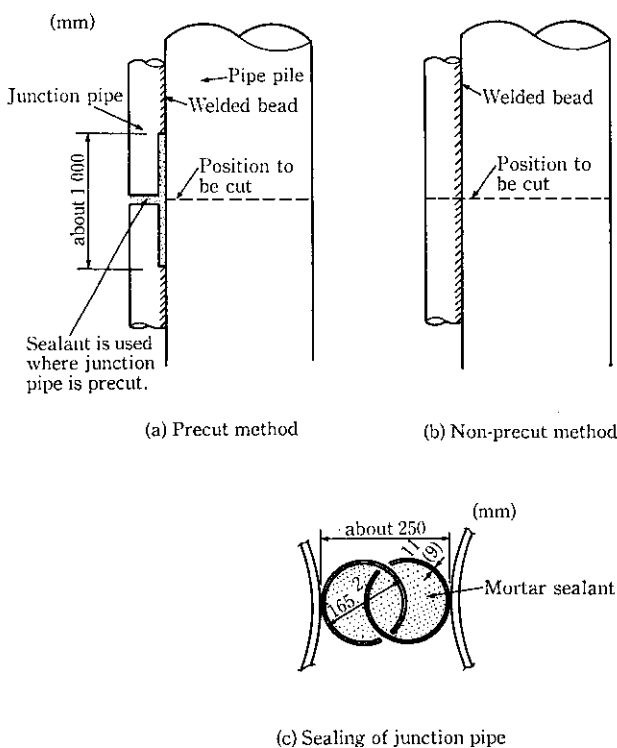


Fig. 1 Precut and non-precut configurations of junction pipes

## 2 ノンプレカット方式の鋼管矢板に適用する水中切断法の基本条件

仮縫切兼用钢管矢板井筒工法に関し実用化されているか、実用化の可能性のある切断方法を Table 1 にまとめて示す。各々の方法には一長一短があるが、本管切断用として金属製の刃を用いた切断法が切断速度が大きく、操作容易という点から多用されてきた。他方、縫手管のモルタルには、金属製の刃による切削は能率的ではなく、また導電性がないため電気エネルギーのみによる切断も原理的に困難となる。

鋼とモルタルの複合材料である縫手の切断に対してはこれまでの種々の実験および経験から、砥石カッタ法が最適と考えられる。しかし、本切断法においては一般的に砥石板の破損や、被切断物へのかみ込みが生じやすい欠点があるため、本管や縫手の変形や変位が生じない間に縫手を切断することが必須と考えられる。切断順序を

Table 1 Underwater cutting methods

Kind of energy	Method	Cutting way
Mechanical energy	Grinding	Grinding by grindstone
	Cutting	Cutting by metal blade
	Jetting	Abrasive water jet
Electrical energy	Plasma	Plasma arc Plasma jet
	Electric discharge	Oxygen-arc Smelting electrode with water jet Arc-saw
Optical energy	Laser	
Chemical energy	Blast	Blast cutting (Neumann effect)

本管→縫手とすれば、縫手の切断末期に本管の拘束が弱くなることから本管の変形や変位が生じるためこの条件を満たすことができない。切断順序を縫手→本管とすればこの条件を満たすことができる。一方、この切断順序では本管の切断終了時にはすでにそれ以前に縫手が切断されているため本管の変形、変位が集中する。したがって本管の切断手段としては管の変形、変位などにより影響を受けない非接触切断方式が好ましい。非接触切断方法にはプラズマアーク法、ウォータージェット法、酸素アーク法などがあるが、钢管矢板が河川や海中に設けられることが多いなどの環境条件を考慮して総合評価した場合、本管の切断に対してはプラズマアーク法が最適であると考えられる。

上記背景を考慮してノンプレカット工法に適用する水中切断工法・装置の設計基本コンセプトを次のとおりとした。

- (1) 最終切断を非接触で行う。
- (2) 切断順序を縫手→本管とする。
- (3) 縫手切断を砥石カッタ方式、本管切断をプラズマアーク方式とする。
- (4) 同一装置で本管と縫手を切断する。
- (5) 本管と縫手の切断レベルを一致させる。
- (6) 切断作業は地上にて遠隔で操作する。

## 3 切断方式の基本的検討

本管と縫手を同一の装置で切断する方式の確立を目標として、砥石カッタを用いた縫手切断とプラズマアークを用いた本管切断の実験を行った。

### 3.1 砥石カッタを用いた切断実験

#### 3.1.1 実験方法

水槽内において砥石カッタによる切断実験を行った。供試体の縫手は外径 165.2 mm、厚さが 9 mm の钢管であり、钢管内には圧縮強度 240 kgf/cm<sup>2</sup> のモルタルを充填した。供試体の本管は外径 800 mm、厚さが 16 mm の钢管の一部を切り出したものであり、縫手は溶接で取り付けられている。

砥石カッタ切断時の回転所要動力および切削力は動力の測定値から求められる。

#### 3.1.2 砥石カッタ回転数と回転抵抗

水中で砥石カッタを回転するときの摩擦損失動力  $L_f$  (kW) は理論的に次式で示される。

$$L_f = k \rho U^4 D^2$$

ここに、  $\rho$ : 流体の密度 (kg/m<sup>3</sup>)

$U$ : 円板の周速 (m/s)

$D$ : 円板の直径 (m)

$k$ : 円板の摩擦係数

実験結果は Fig. 2 に示され、  $k = 2.9 \times 10^{-6}$  となる。水中における砥石カッタの摩擦損失動力は回転数が増すにつれ、指數関数的に増大することがわかる。気中においては砥石カッタの適正周速として一般的に 2 000-3 500 m/min が選ばれているが、水中においては損失動力が大きくなるため 1 600 m/min 程度以下の中低速切断を選択した方がよいという結論が得られた。

#### 3.1.3 砥石カッタの切削力と切断所要時間

砥石カッタの周速が 1 000 m/min のとき、砥石カッタに作用している単位厚さ当たりの切削力  $A = F/t$  と、縫手を切断するときの所要時間との関係を Fig. 3 に示す。砥石カッタの切削力が大きくなると、縫手の切断所要時間は低減するが、砥石カッタの摩耗量が大

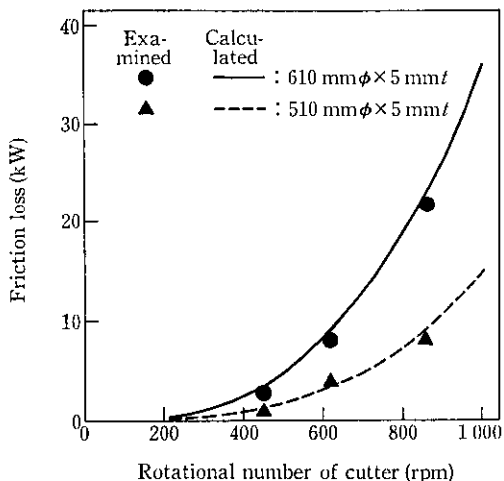


Fig. 2 Relation between rotational number of cutter and friction loss

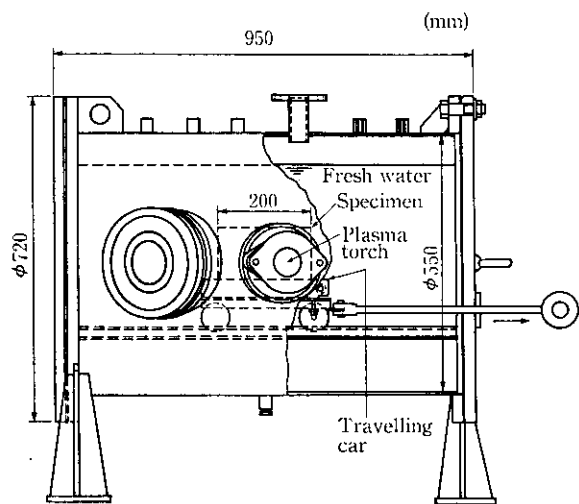


Fig. 4 Pressure tank

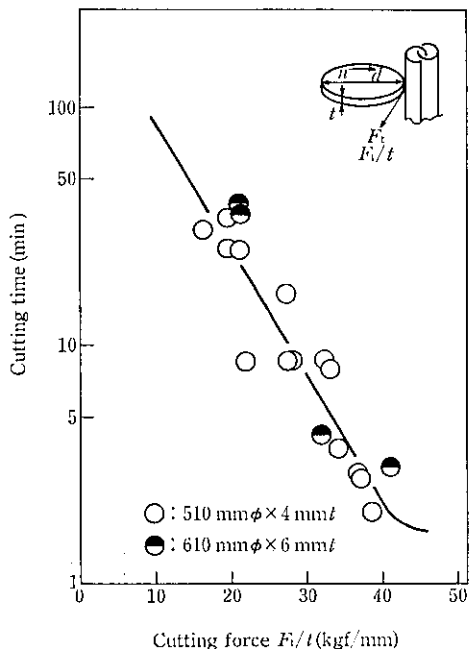


Fig. 3 Relation between cutting force and cutting time

きくなる。したがって切削力には適正な範囲がある。切削力を25 kgf/mm程度にすると直径方向の摩耗量は約20 mmであった。この場合、1枚の砥石で1本以上の钢管矢板を切断することができ、かつ継手の切断所要時間も約10分となり切断条件としては適正である。

### 3.2 プラズマアークを用いた切断実験

#### 3.2.1 実験方法

実験にはHypertherm社製HT-400Sのプラズマアーク切断装置を用いた。電源本体から中間ステーションを経てケーブルを延長し、水深20 mまでの切断が可能なように改造されている。

Fig. 4は水深最大20 mまでの模擬切断実験が可能な水圧タンクを示す。タンク内には供試鋼板を載せる走行台車があり、台車の速度はタンク外部の駆動装置により制御することが可能である。またタンクの側面にはトーチの取付調整座があり、供試鋼板の表面とトーチ先端との距離（スタンドオフ）を8 mmとし、かつトーチの後

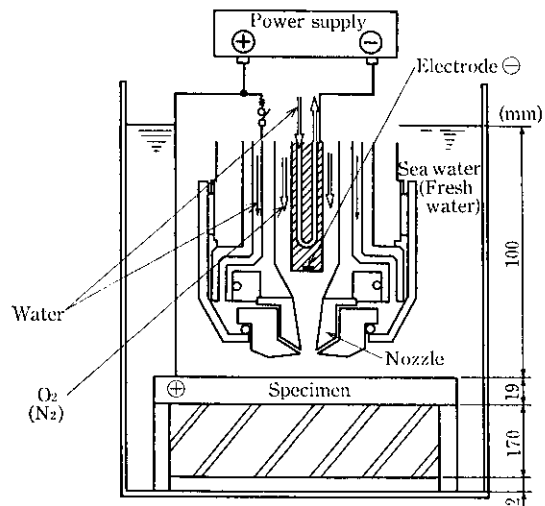


Fig. 5 Configuration of underwater plasma arc cutting experiment

退角を15°とした。トーチの水深が100 mmになるように水道水または海水を満たした。タンクの上部には窒素の供給口があり、タンクの内圧を調整した。実験条件としては、プラズマガスが酸素の場合、切断電流260 A、ノズル口径2.5 mm、ガス供給圧力8.5 kgf/cm<sup>2</sup>G、ガス流量50 l/minとし、窒素の場合はそれぞれ400 A、4.2 mm、9.9 kgf/cm<sup>2</sup>G、80 l/minとした。供試鋼板は板厚5 mmから27 mmにいたる勾配のついた楔形とし、500-3 000 mm/minの速度範囲で走行させて板厚に対する限界切断速度を求めた。つぎに、水圧0.01 kgf/cm<sup>2</sup>Gの海水において切断速度を1 500 mm/minに一定としスタンドオフを5-27 mmの範囲に変化させたときの限界切断板厚とアーケ電圧を求めた。

Fig. 5にはトーチ先端の構造概要と、板厚19 mmの供試鋼板の背面に粘性土または砂が存在する場合の切断実験の方法を示す。箱形の供試体の内部には粘性土または砂が充填されている。水槽には海水を供給し、トーチの水深を100 mmとした。実験においてはプラズマガスの種類、圧力、流量、切断電流、ノズル口径およびトーチ角度を上述のFig. 4の場合と同様にしたが、切断速度を200-1 200 mm/minの範囲にし、かつトーチを下向き方向に取りつけて使用した。

なお、用いたプラズマトーチのノズルの先端外周部にはセラミックスが装着されていて、切断実験中はセラミックスとノズルの間隙からインジェクション水が噴出する。

### 3.2.2 水中における切断能力

水道水(海水)において水圧が変化した場合の切断速度と限界切断板厚の関係をFig. 6に示す。限界切断板厚は切断速度の増大とともに減少するが、水圧が $0.01 \rightarrow 2 \text{ kgf/cm}^2\text{G}$ へと増大した場合も多少減少する。プラズマガスの比較では、酸素と窒素で切断能力に顕著な相違は認められない。これは切断時の切断幅当たりの投入熱量(入熱/ノズル径)が両者でほぼ等しいことで説明できる。

海水中ではその導電性からプラズマエネルギーの分散が一般的で

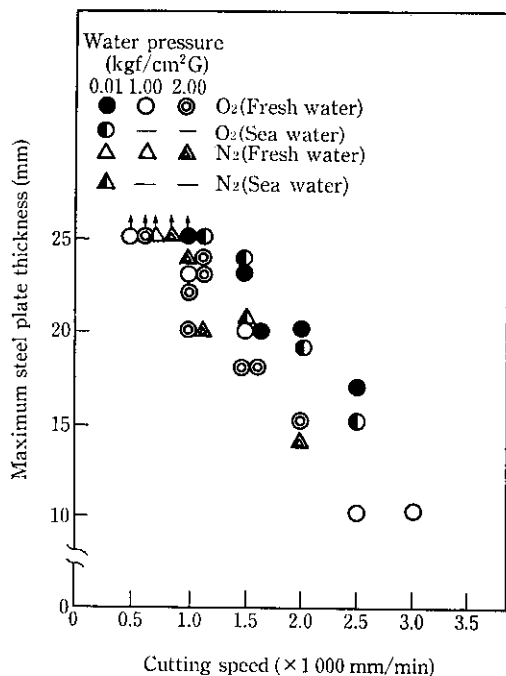


Fig. 6 Relation between torch cutting speed and maximum steel plate thickness in underwater cutting

あり、プラズマ切断の実用は極めて困難である。本実験では水圧 $0.01 \text{ kgf/cm}^2\text{G}$ における水質の影響に関し、水道水と海水では大きな差は認められない。これはFig. 5に示されるプラズマトーチ先端部の構造が、メインアーカの電流密度の低下原因となるシリーズアーカの発生を抑制する機能を備えていることによる。具体的には、ノズル先端外周部のセラミックスによる絶縁とノズル内面での水によるピンチ効果である。後者に関して、銅製ノズルの機械的ピンチ効果で絞られ、さらにアーカ柱の外周部とノズルとの間隙にインジェクション水を通過させ、その熱的ピンチでより細く絞ることから、ノズルを経由するシリーズアーカの発生が抑制される。

Fig. 7はスタンドオフと限界切断板厚、アーカ電圧の関係を示す。水圧が $0.01 \text{ kgf/cm}^2\text{G}$ のときには、パイロットアーカがメインアーカに移行するスタンドオフは8 mmであり、メインアーカへ移行した後はスタンドオフが27 mmとなっても切断が可能である。ただし、スタンドオフの増大とともにアーカ電圧が上昇し、切断限界板厚は減少する。スタンドオフの増大による切断能力の低下はプラズマアーカ柱の太径化、プラズマジェット流速の低下などによると考えられる。

### 3.2.3 背面に粘性土または砂が存在する場合の切断特性

海水中において厚さ19 mmの鋼板の背面に粘性土または砂が存在する場合の切断実験結果をFig. 8に示す。いったん溶融した金属が、鋼板背面にある緻密な粘性土または砂の影響を受けて図中に模式的に示されるように切断溝部の表面上まではね返り凝固する。窒素プラズマで電流400 Aの場合には切断速度800 mm/minで、また電流260 Aの酸素プラズマの場合には切断速度400~600 mm/minにおいて、凝固金属と切断溝の界面で再溶着部が存在しない完全切断領域が存在する。この完全切断領域では鋼板背面の切断方向の全長にわたって均一な切断幅が認められており、これはアーカが安定していることと溶融金属の流れが一定しているためと考えられる。

一方、窒素プラズマおよび酸素プラズマともに切断速度を200 mm/minと小さくした領域では、プラズマアーカの陽極点が終始移動してアーカが不安定になり、溶融金属の均一な流れが妨げられる。その結果、部分的に切断溝でブリッジを形成し、凝固金属が再溶着して不完全切断となる。

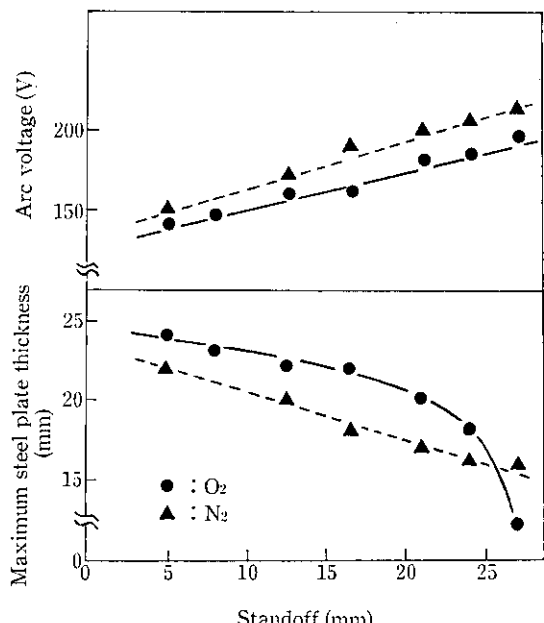


Fig. 7 Effect of torch standoff on plasma arc voltage and maximum steel plate thickness in underwater cutting

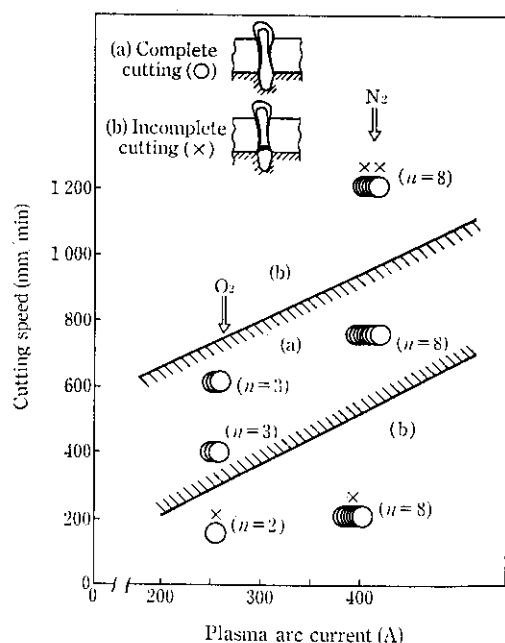


Fig. 8 Relation between plasma arc current and cutting speed

また、窒素プラズマで切断速度を1200 mm/minと大きくした領域では、熱量不足から溶融金属の流動が不完全となり、局部的に再溶着部を形成する。しかし、酸素プラズマでは溶融金属および固体切断面ともに酸化がより進行しているので、凝固金属の再溶着が生じたとしても軽度の衝撃により剝離する。したがって、本切断工法に適当な条件となる。

#### 4 新型水中切断装置 プラズマカッター

##### 4.1 装置の構成

水中切断装置は主にプラズマアーク装置と砥石カッタ装置から構成される。Table 2に装置の主な仕様を示し、切断装置の全景をPhoto 1に示す。プラズマトーチにパイロットアークが発生し、メインアークに移行すると共にプラズマトーチは本管内で内壁に沿って旋回運動し、プラズマアークによる本管の切断を行う。

砥石カッタはPhoto 1に示されるように切断機構部内に設けられており、切断時に継手の方向へ送りだされる。一方の継手を切断した後に、切断機構部は旋回運動し他方の継手も切断する。この間、本管の断面は一部しか切断されていないため構造体としての剛性は十分あり砥石カッタのかみ込みトラブルの発生は防止される。

Table 2 Specifications of the newly developed underwater cutting machine

Pipe piles	
Diameter of pipe piles	800~1200 mm
Thickness of pipe piles	9~25 mm
Diameter of junction pipes	165.2 mm
Thickness of junction pipes	9, 11 mm
Plasma arc device	
Arc current	100~400 A
Open circuit voltage	400 V
Gas	O <sub>2</sub> , N <sub>2</sub>
Torch travel speed	600~2000 mm/min
Grinder device	
Diameter of grinder	500~650 mm
Cutting time	~10 min/junction
Sensors	
Position of grinder	Displacement sensor
Position of plasma torch	Encoder

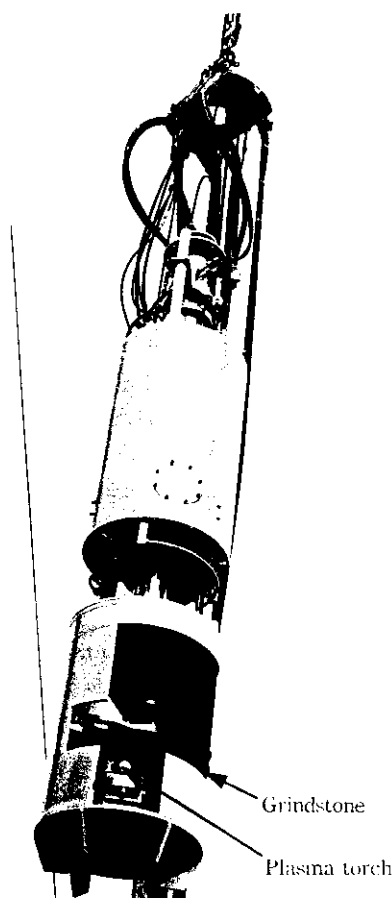


Photo 1 General view of the newly developed underwater cutting apparatus

##### 4.2 確性試験

Fig. 9に新型水中切断機を用いた実規模確性試験方法を示す。供試体は800 mm $\phi$  × 16 mm $t$  × 6000 mm $L$ の溶接钢管に圧縮強度240 kgf/cm<sup>2</sup>のモルタルを中詰めした継手管を溶接したものであり、深さ4 mの水槽中に設けた。供試体の切断位置では水深が2~3 mでありかつ钢管背面に粘性土または砂がある。プラズマアークによる切断においては酸素プラズマを用い切断電流を260 Aとした。

Table 3に実験結果を示す。切断所要時間は継手が18分、本管が2.7分で合計21分であった。Photo 2は砥石カッタによる切断状況を、Photo 3はプラズマアークによる切断状況を示す。切断後の供

Table 3 Underwater cutting test results of interlocked steel pipe piles (Main pipe, 800 mm $\phi$  × 16 mm $t$ ; Junction pipe, 165.2 mm $\phi$  × 9 mm $t$ )

Test No.	Cutting device	Cutting object	Cut length (mm)			Cutting time (min)
			Depth	Width	Circumferential	
1	Grindstone <sup>*1</sup>	Junction 1 <sup>*2</sup>	187	670		9.0
		Junction 2 <sup>*2</sup>	172	630		9.0
	Plasma arc (O <sub>2</sub> )	Main pipe			2 440	2.7
2	Grindstone <sup>*1</sup>	Junction 1 <sup>*2</sup>	166	649		8.0
		Junction 2 <sup>*2</sup>	168	654		8.5
	Plasma arc (O <sub>2</sub> )	Main pipe			2 440	2.7

\*1 Grindstone blade: 610 mm $\phi$  × 6 mm $t$

\*2 Junction pipes are filled with mortar.

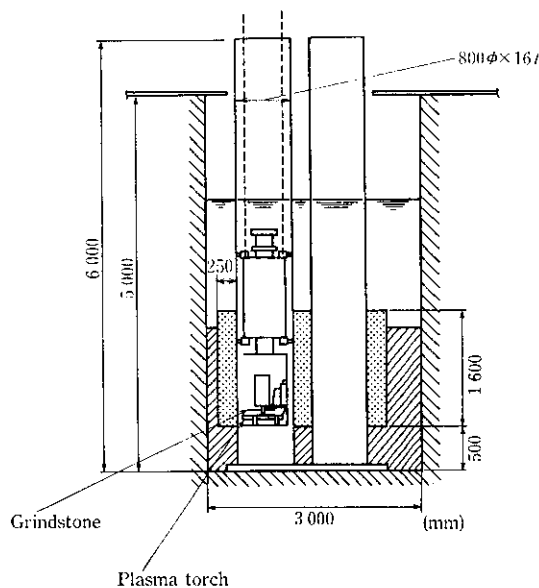


Fig. 9 Configuration of underwater cutting experiment using the cutting machine



Photo 2 Underwater cutting of junction pipe and main pile by grindstone

試体を観察した結果、Photo 4 に示すように継手と本管の切断高さが同一レベルで精度よく一致しており、かつ確実な切断が可能であった。

## 5 結 言

仮締切钢管矢板井筒のノンプレカット工法に対応するために、水中切断の基本実験を行って、砥石カッタとプラズマアーク切断を併用した水中切断工法（装置）の開発を行った。おもな結果は次のとおりである。



Photo 3 Underwater cutting of main pile pipe by plasma arc



Photo 4 Main pile pipe and junction pipes after cutting by plasma arc and grindstone

- (1) 水中において砥石カッタの回転所要動力は、高周速になる程指數関数的に増大する。そのため、空気中において慣用されている高周速切断と異なり、低周速切断とする方がよい。
- (2) 水中においてもプラズマアークによる钢管の切断速度は極めて大きい。酸素プラズマ、負荷電流 260 A の場合、直径 800 mm、厚さ 16 mm の钢管を約 2 分間で切断することができる。
- (3) 新型水中切断装置は、継手管を砥石カッタで切断し、本管を非接触タイプのプラズマアークで切断することができる。切断の確実性にすぐれ、継手管と本管を水中で定められた同一高さ位置で精度よく切断するとともに、直径 800 mm、厚さ 16 mm の钢管矢板の切断を約 20 分間/本と高能率で行うことができる。

この水中切断装置プラズマカッターはノンプレカット工法の钢管矢板の水中切断の他に、钢管杭の高速水中切断にも用いることができる。

おわりに、水中切断装置の開発において、試作機の製作にあたりご協力をいただいた株式会社昭栄の関係各位に感謝いたします。

## 参 考 文 献

- 1) 斎藤 恒、白石 環、野中節男：川崎製鉄技報、8 (1976) 2, 118
- 2) 栗田邦夫、市川文彦、武村忠志、白石 環：川崎製鉄技報、14 (1982) 4, 120
- 3) 楠本 操：製鉄研究、No. 306 (1981), 58